

1/27

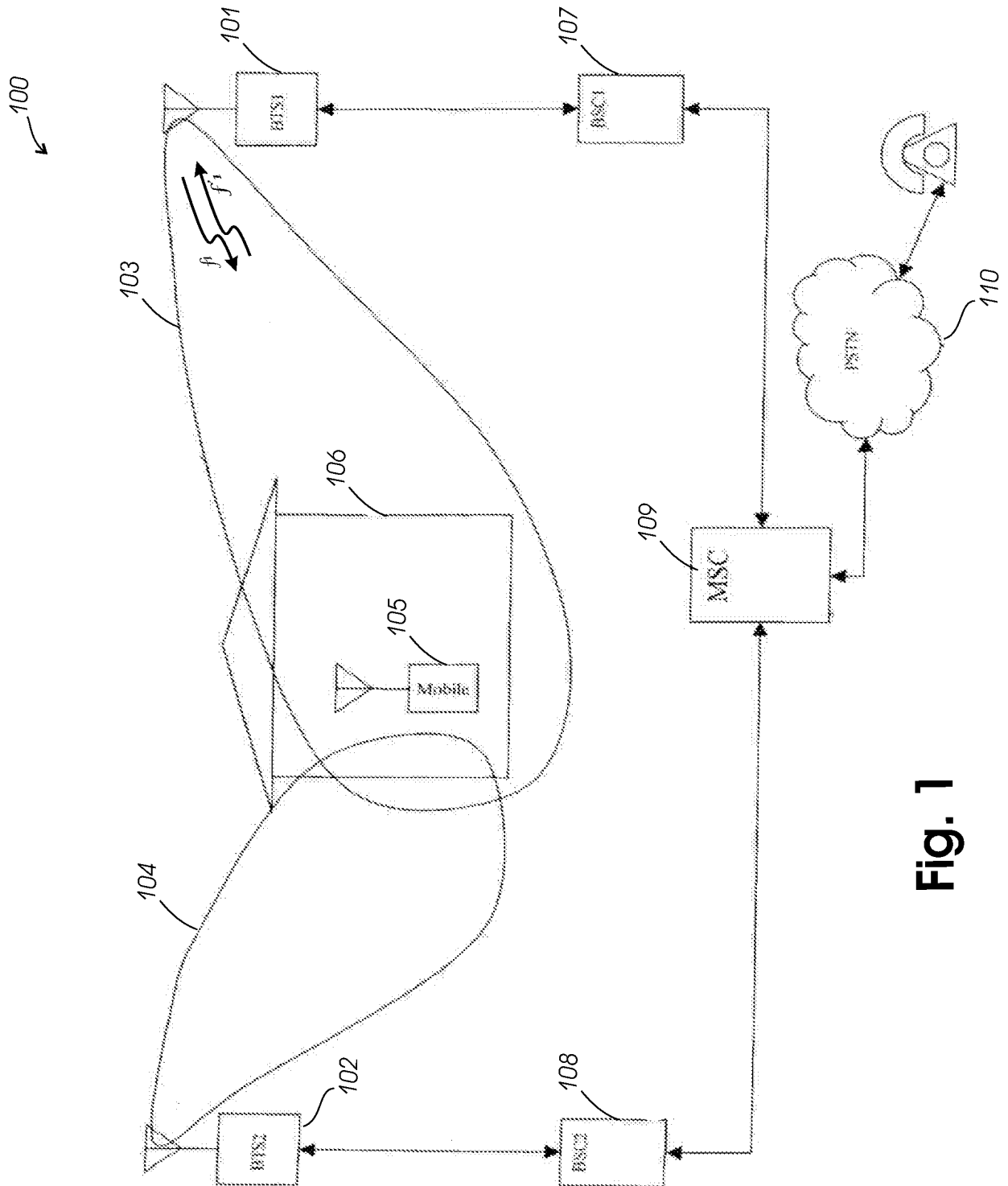


Fig. 1

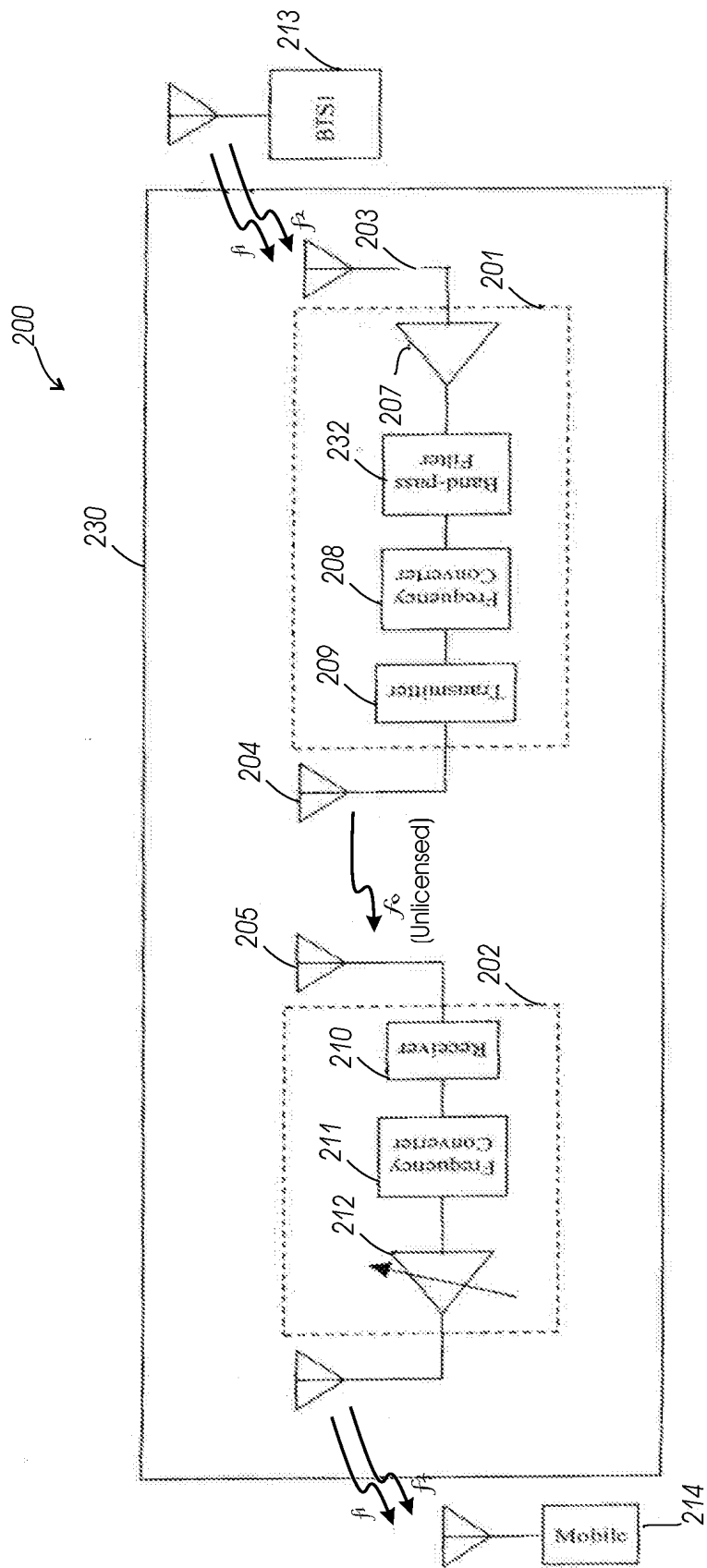


Fig. 2

3/27

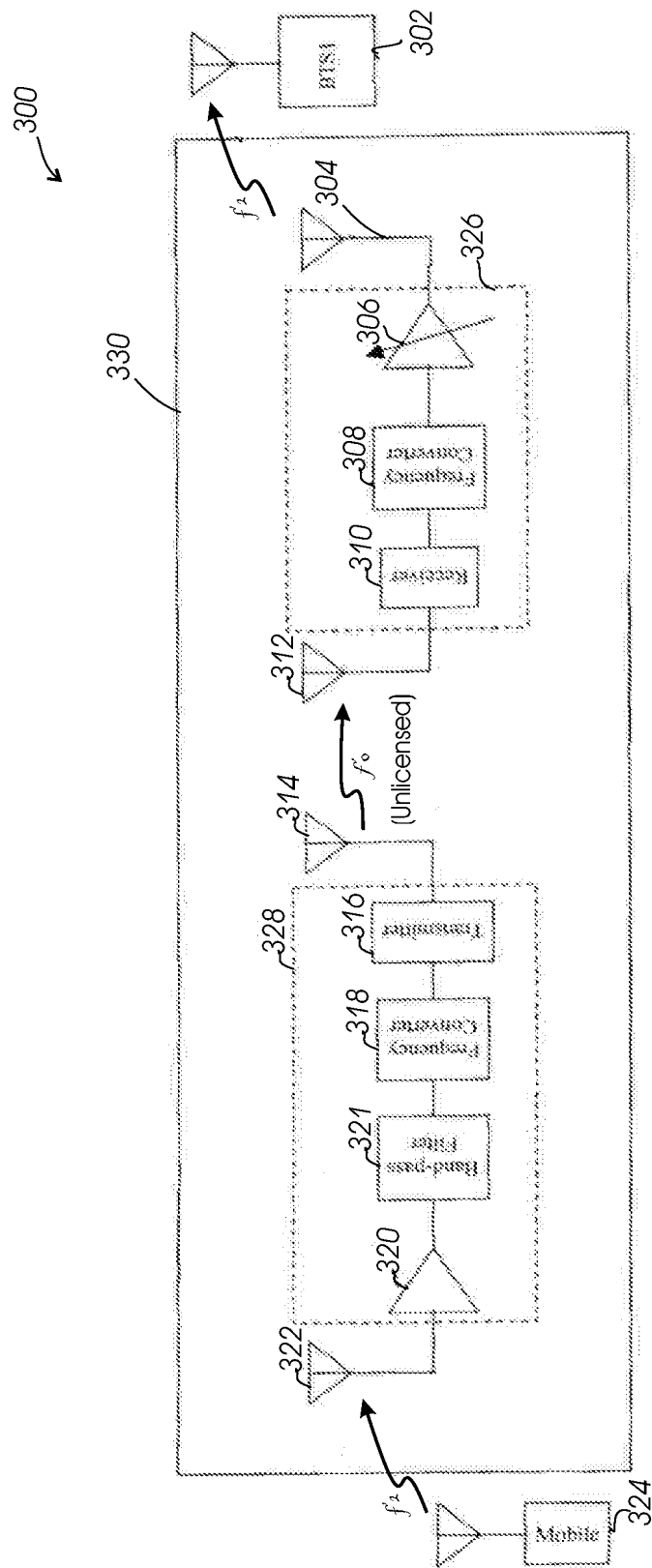


Fig. 3

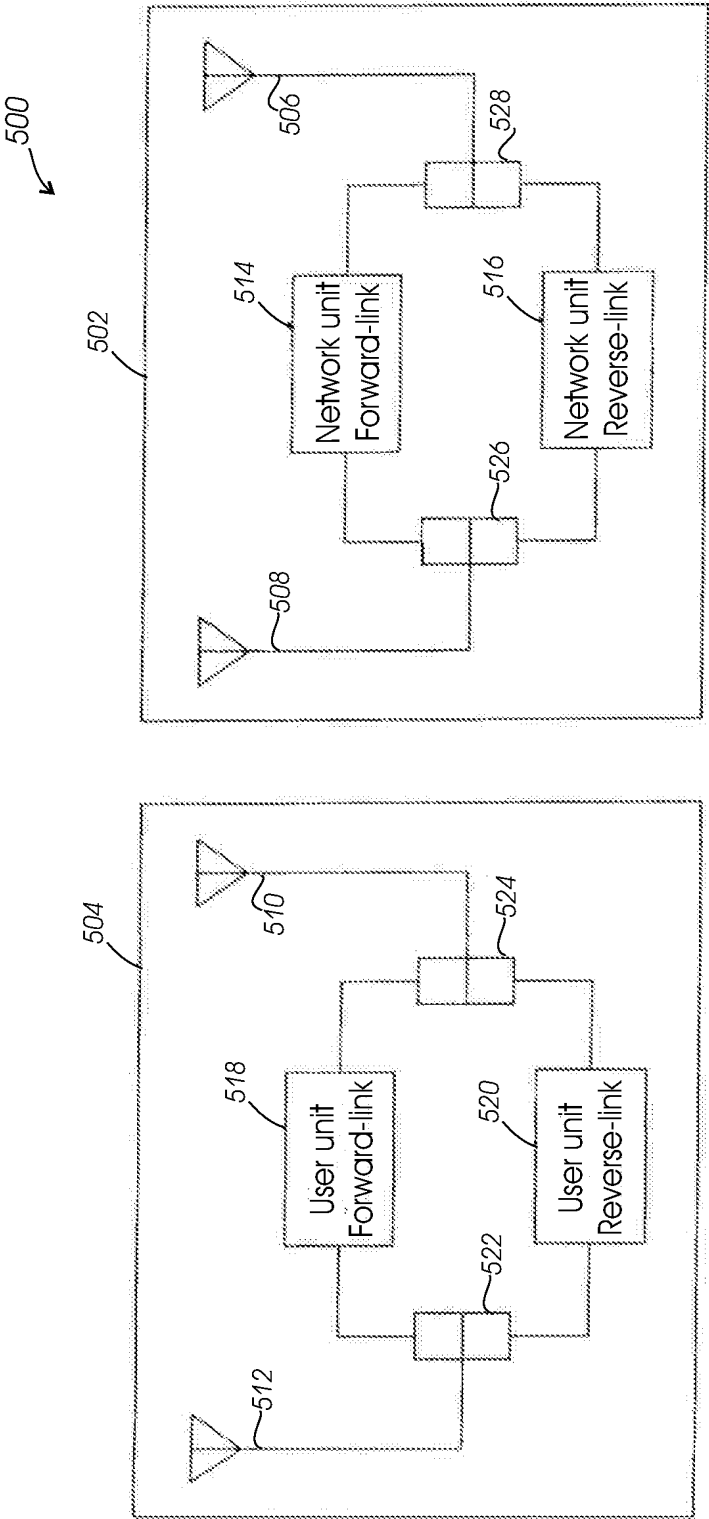
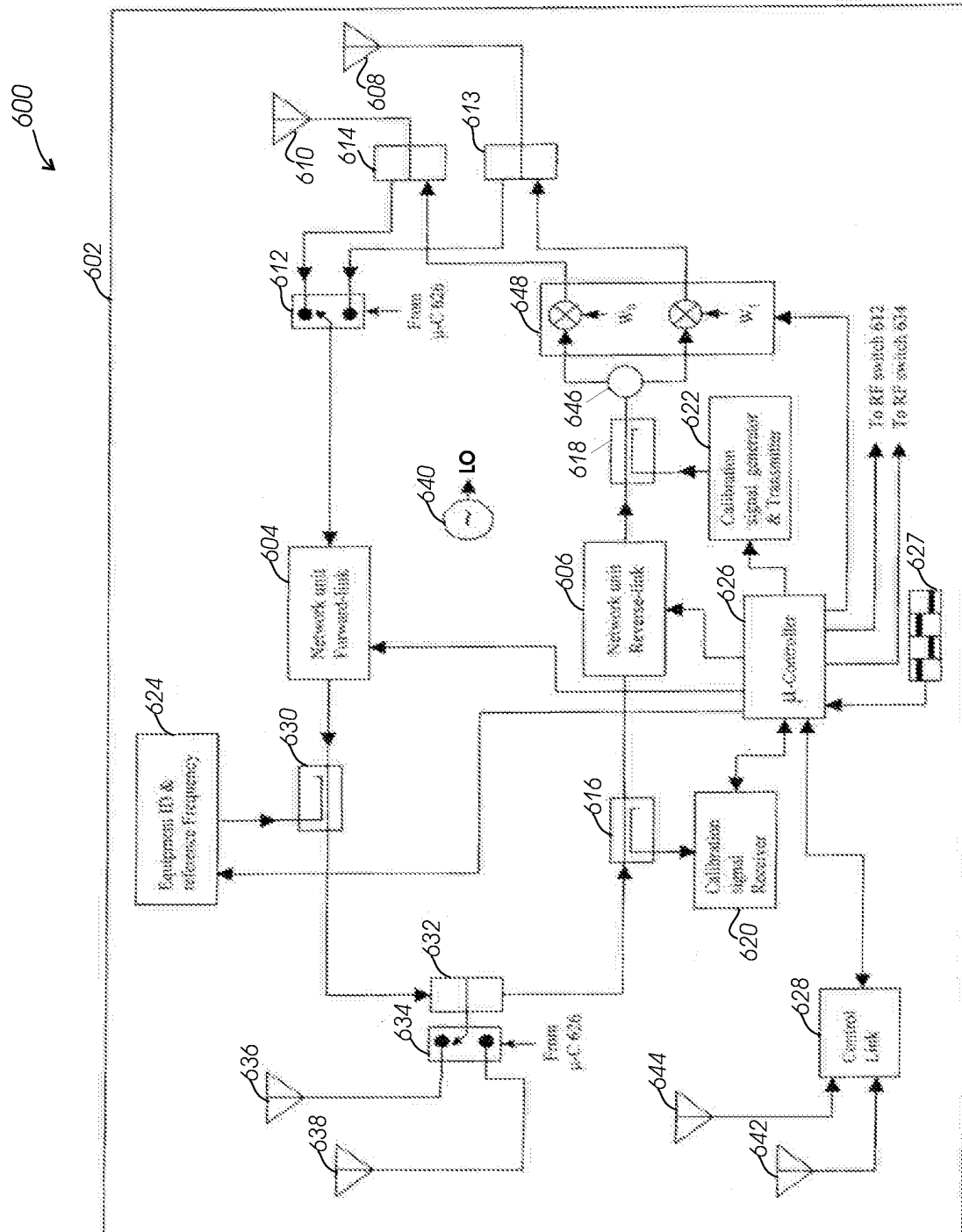


Fig. 4



**Fig. 5**

6/27

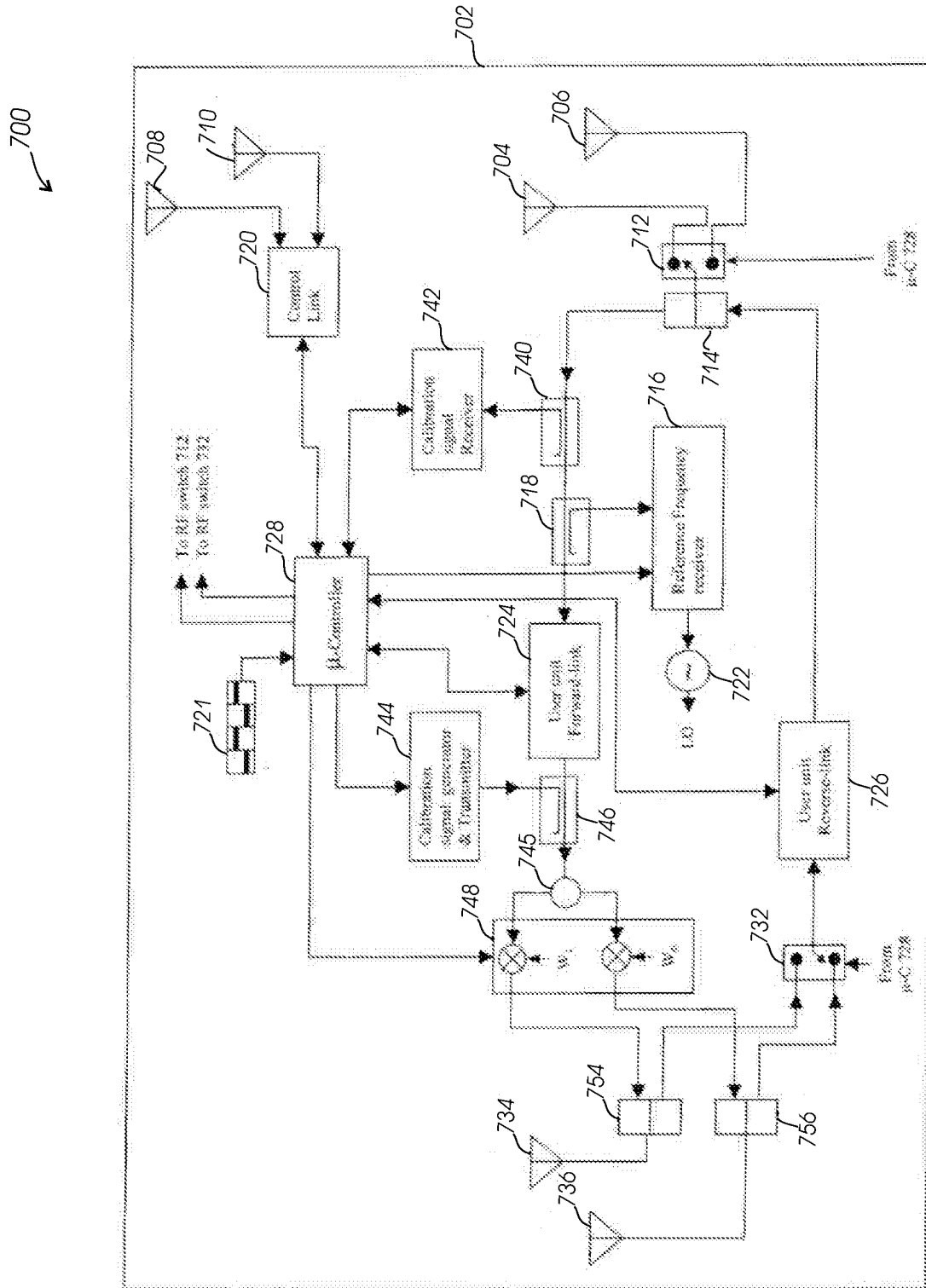


Fig. 6

7/27

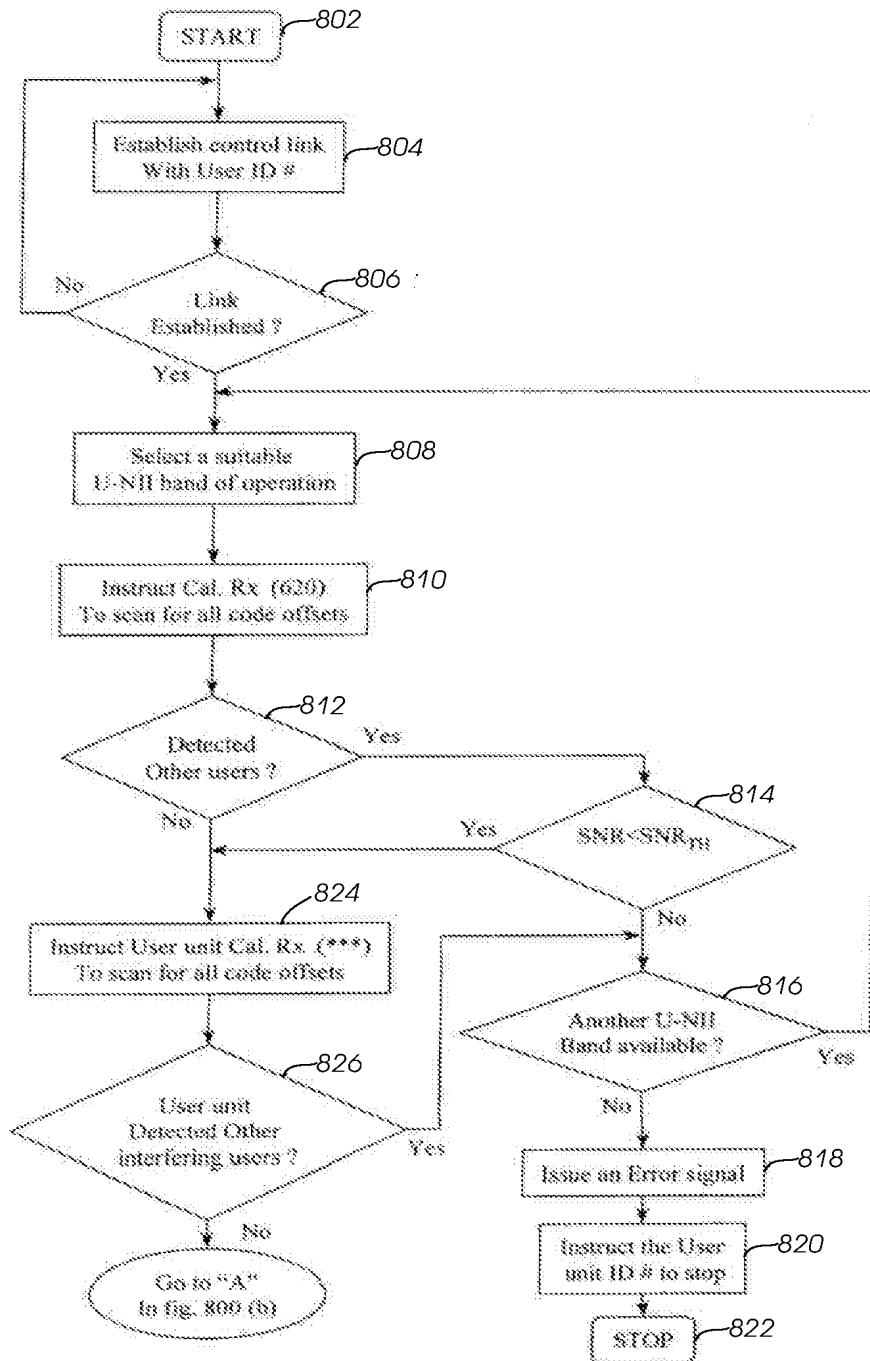


Fig. 7A

8/27

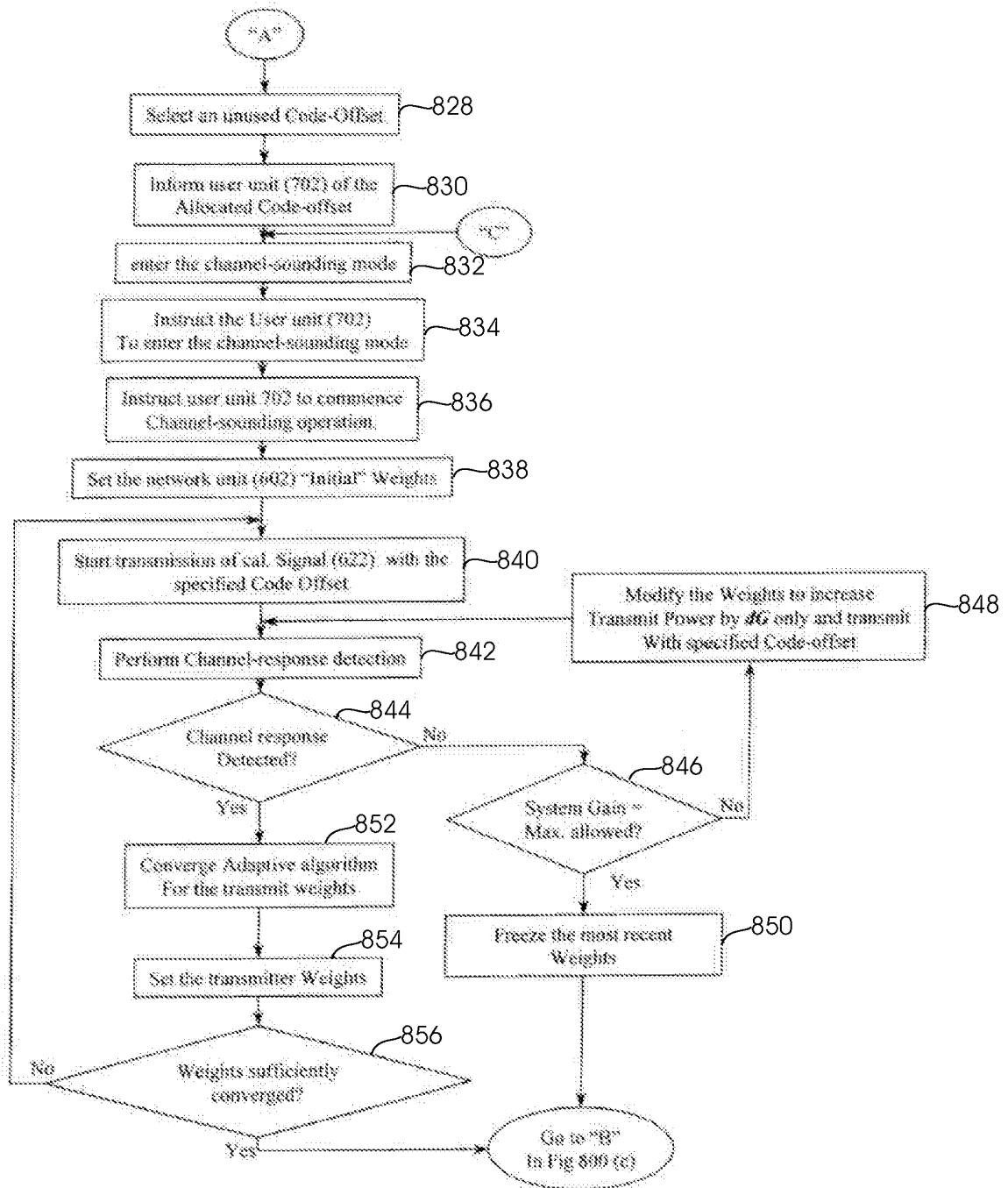


Fig. 7B



9/27

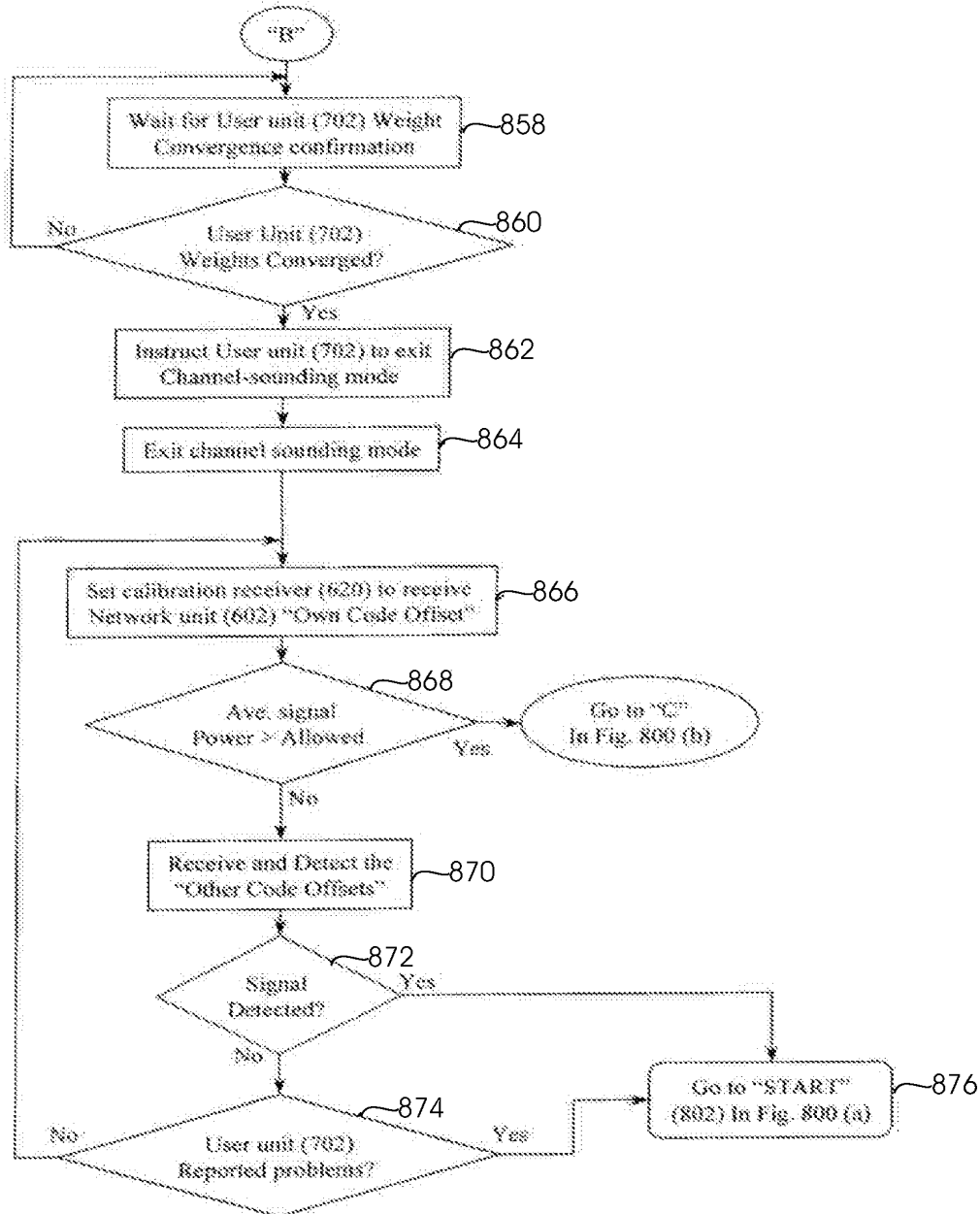


Fig. 7C

10/27

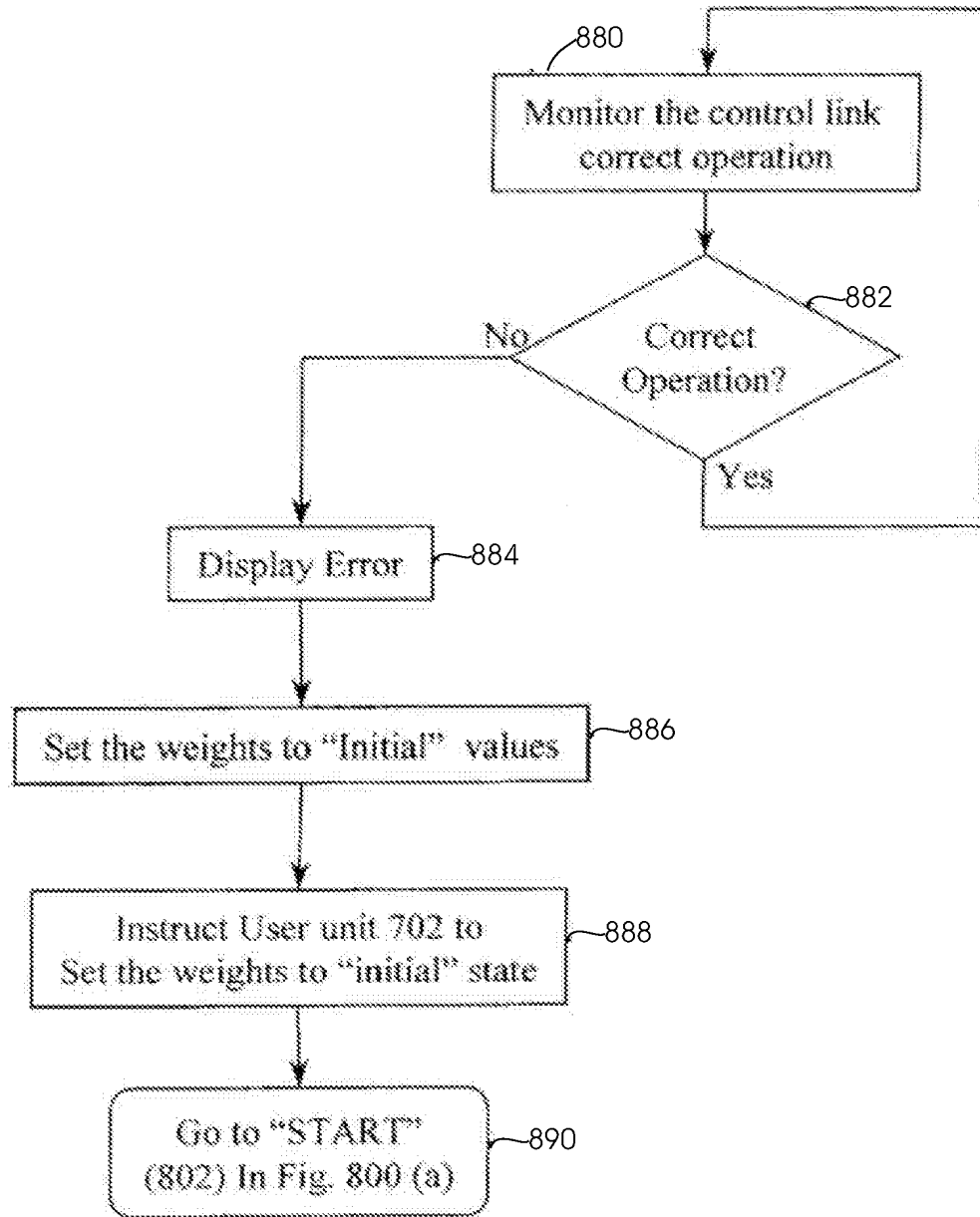


Fig. 7D

11/27

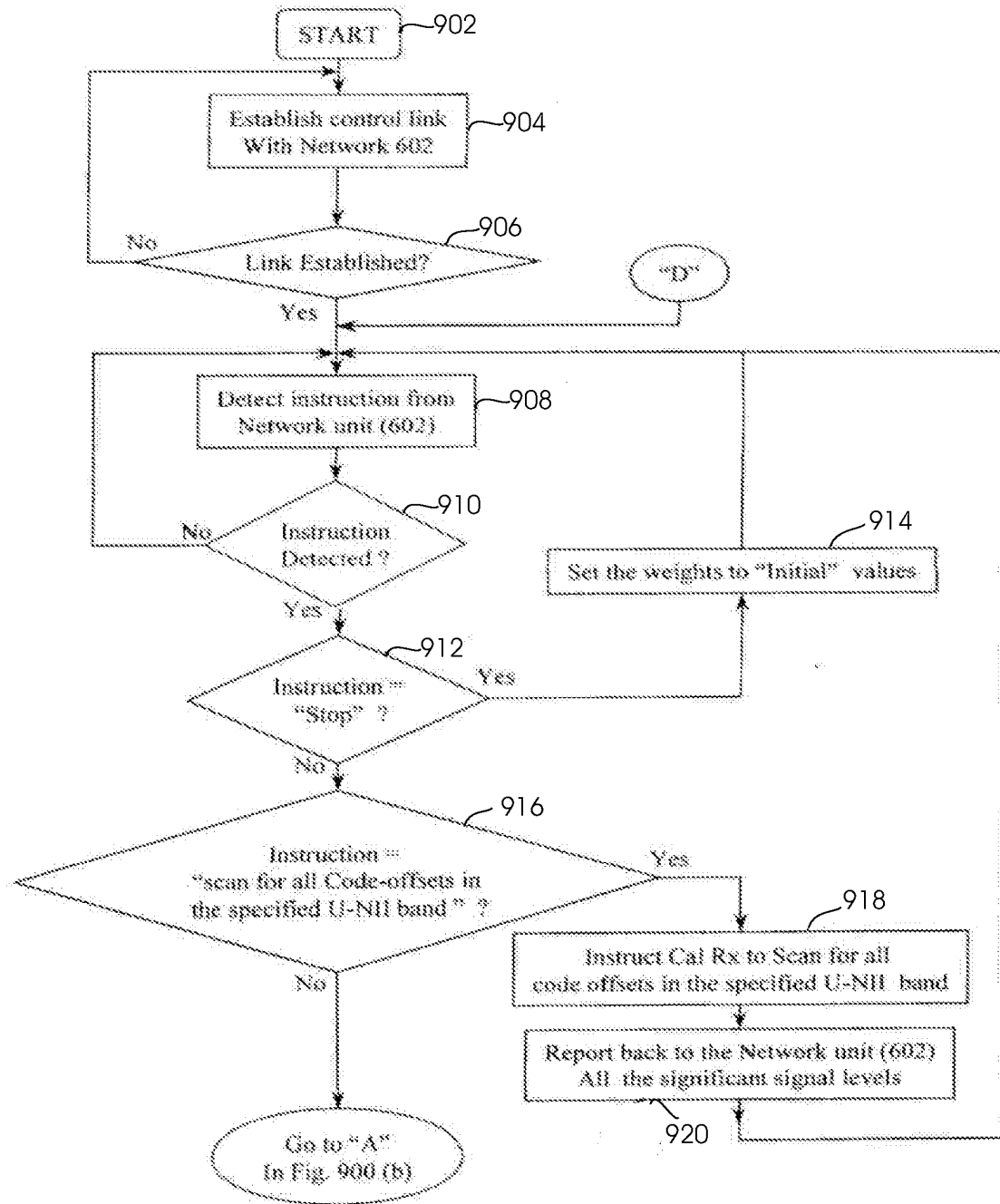


Fig. 8A

12/27

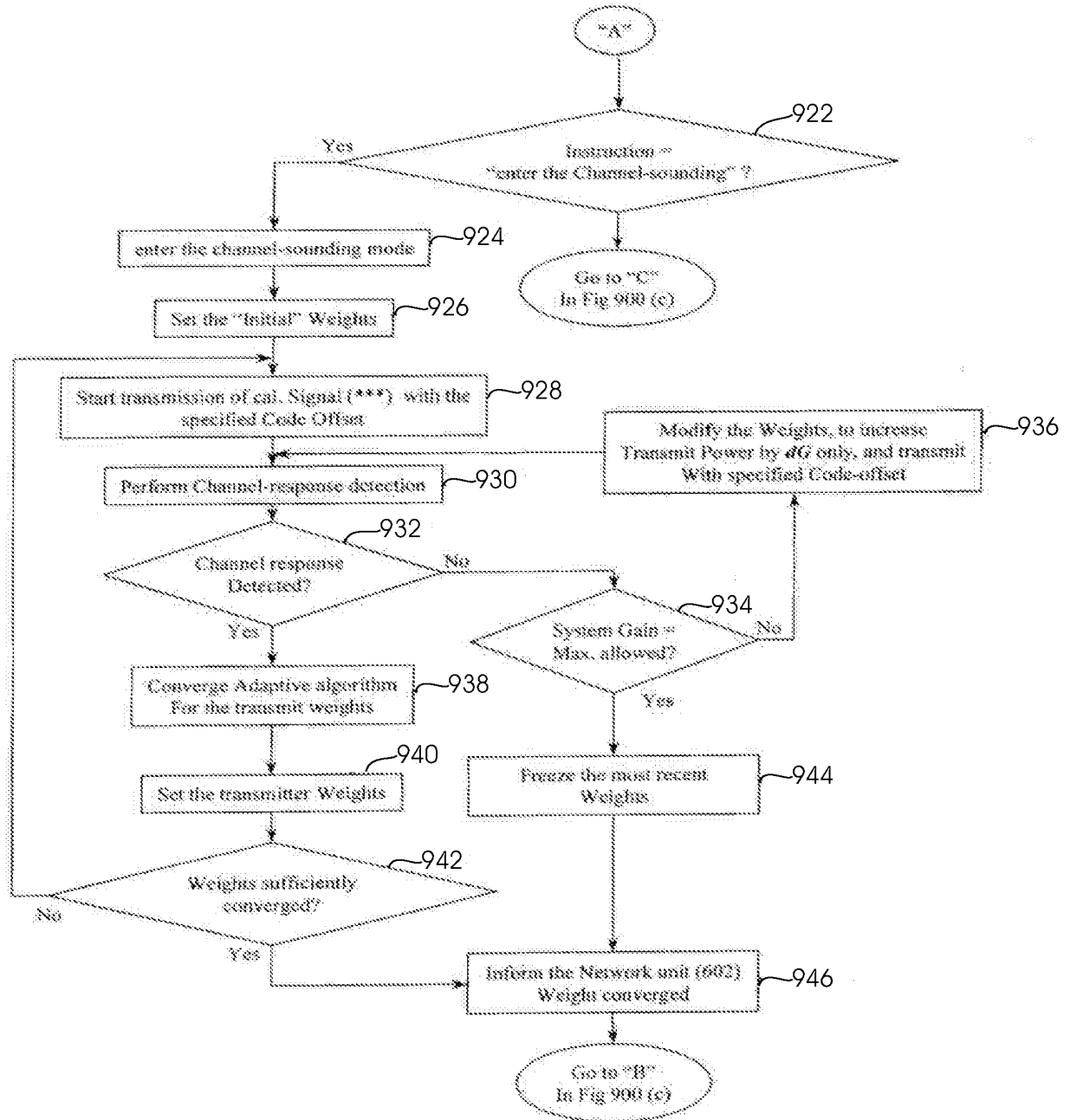


Fig. 8B

13/27

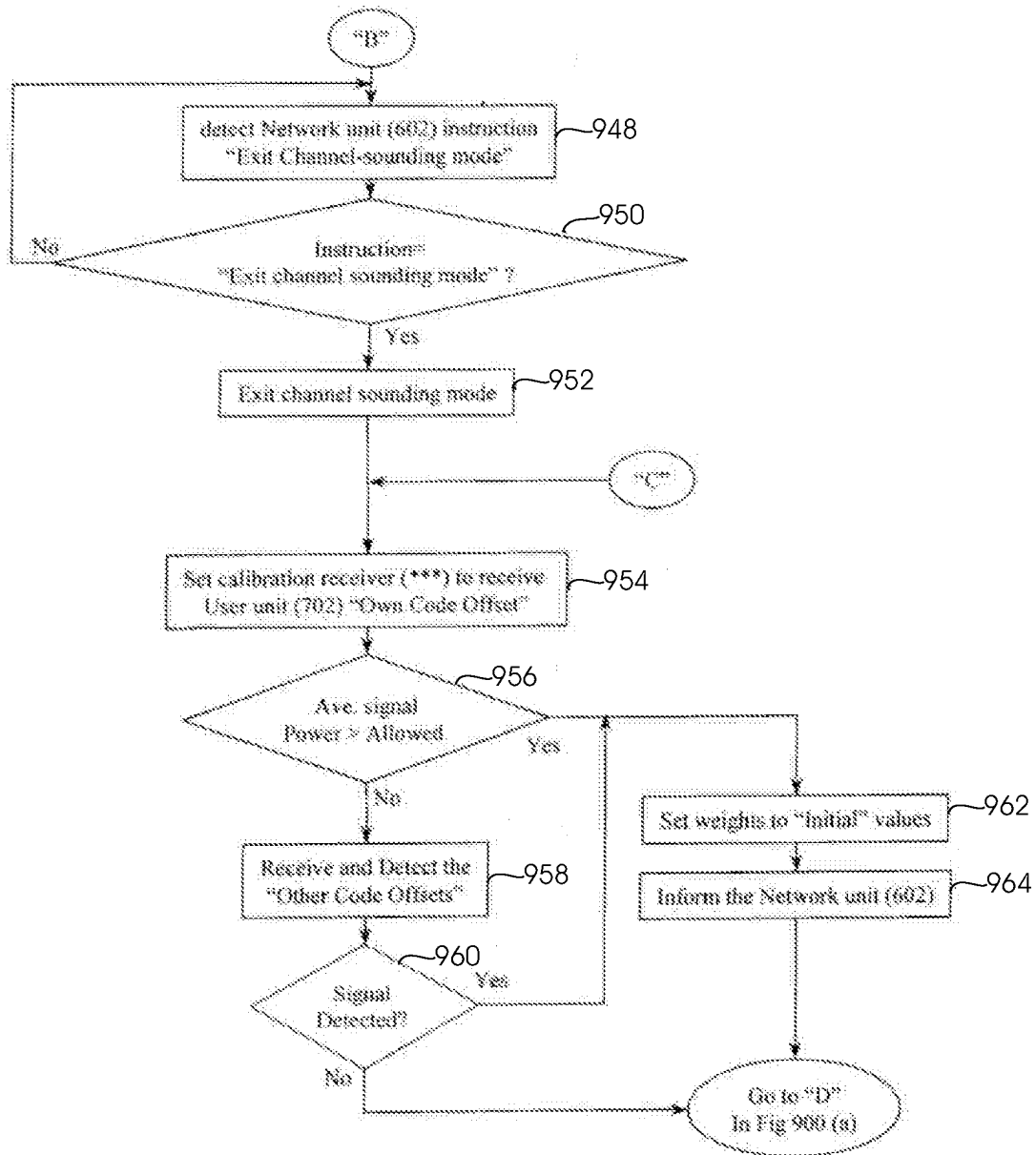


Fig. 8C

14/27

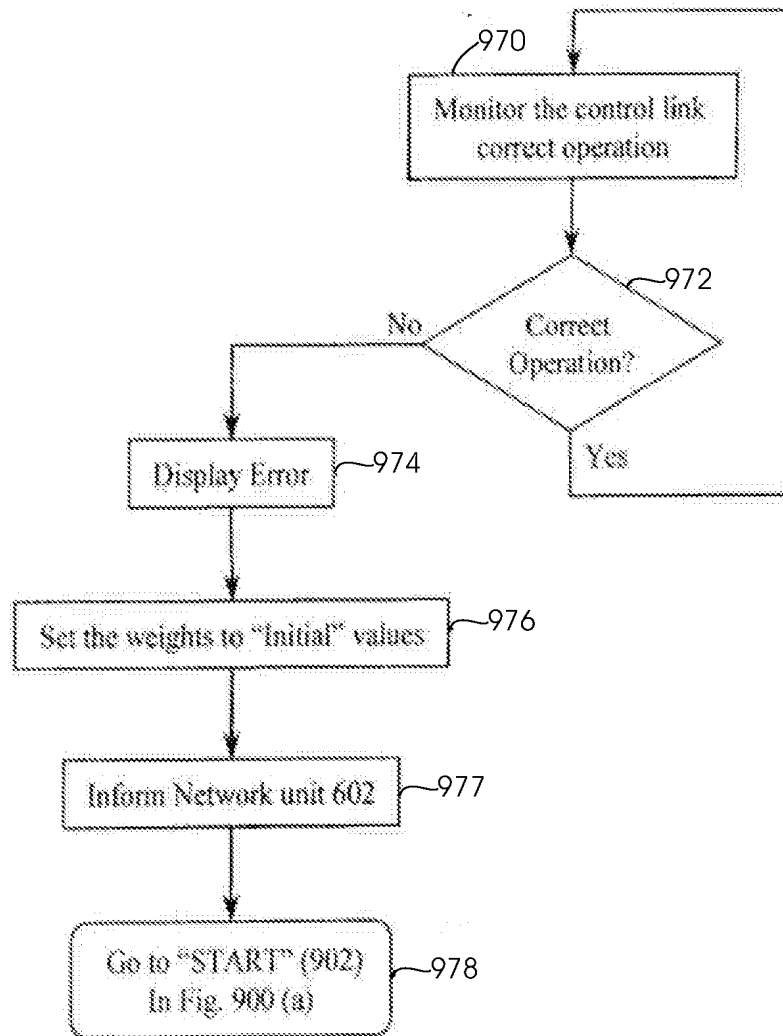


Fig. 8D

15/27

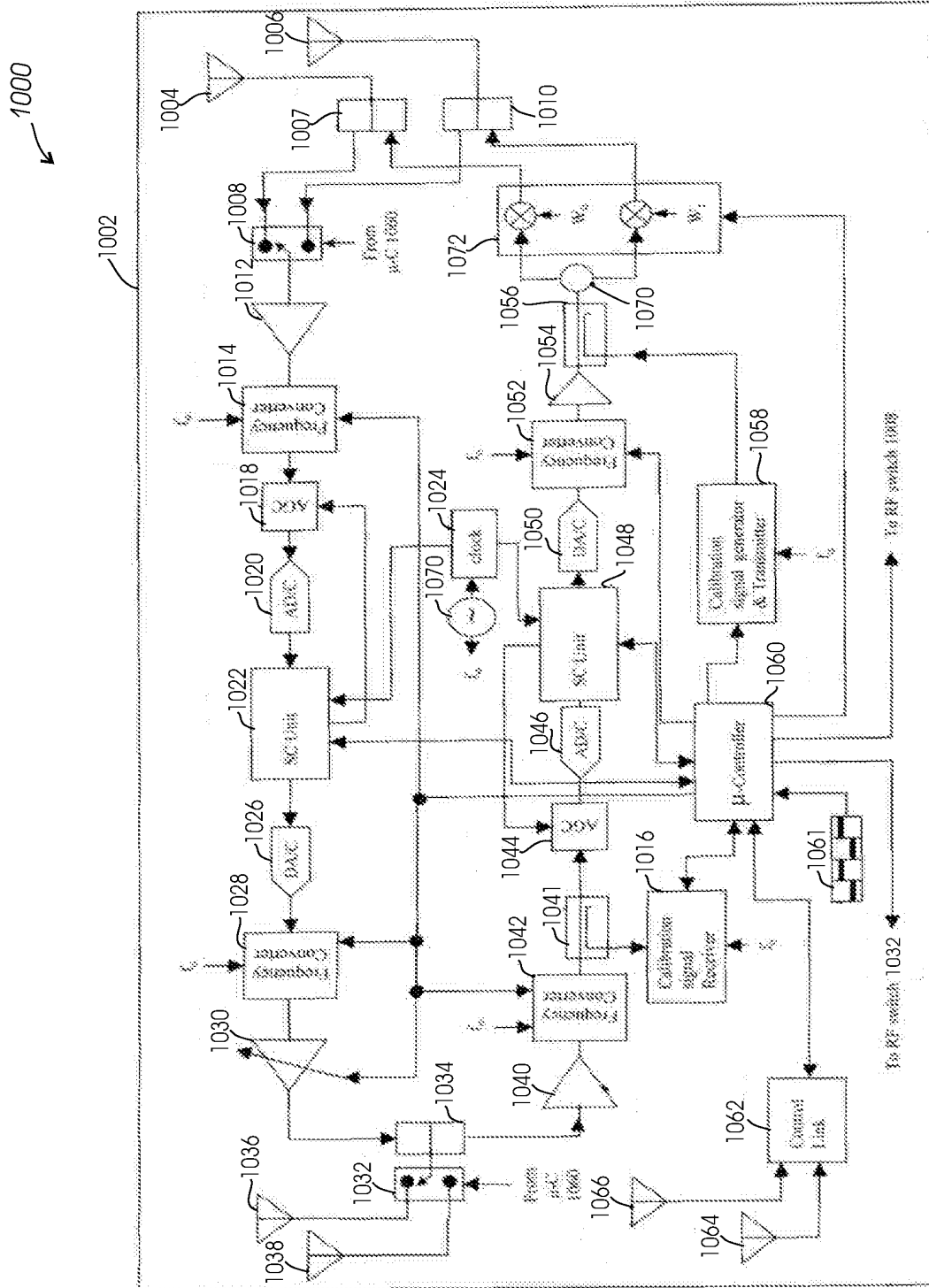


Fig. 9

16/27

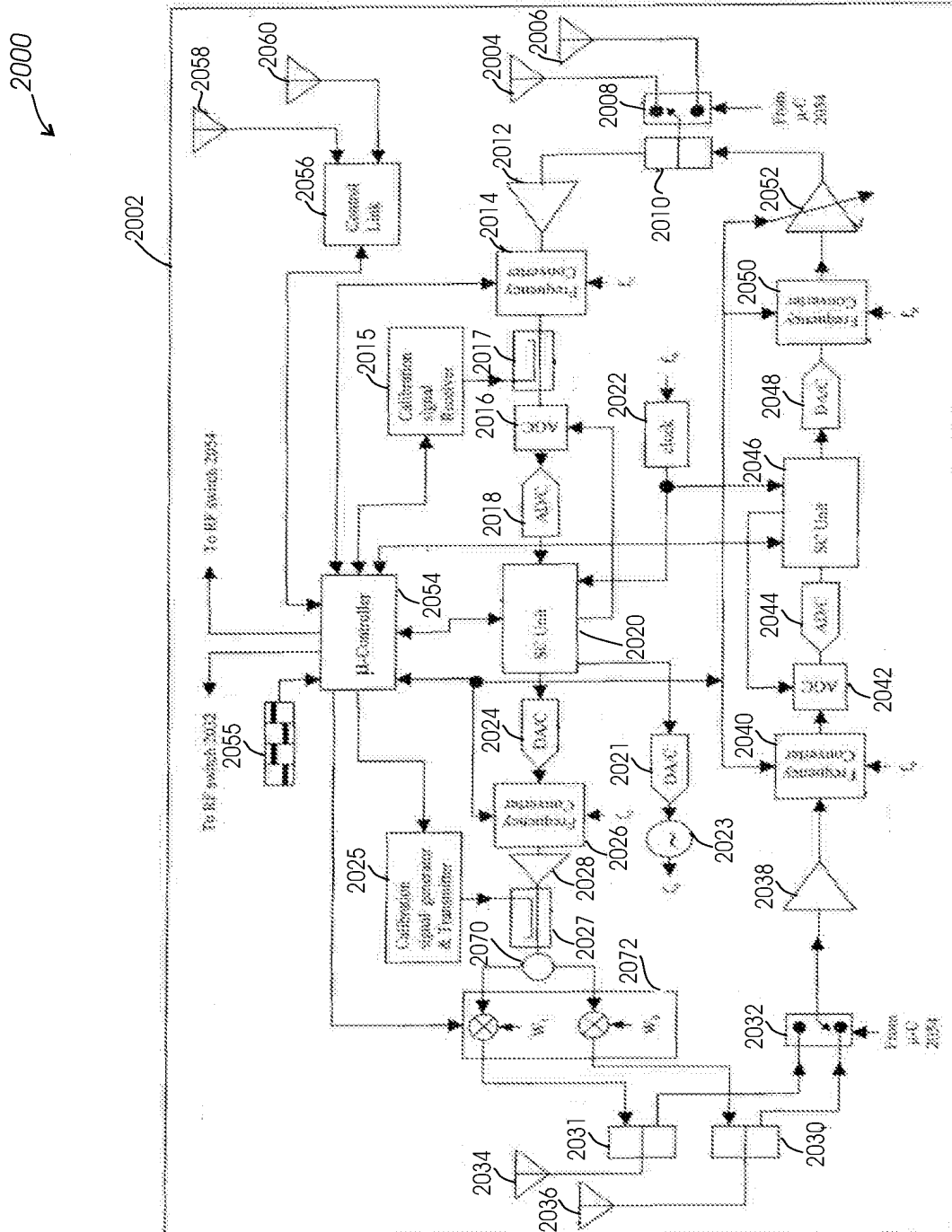
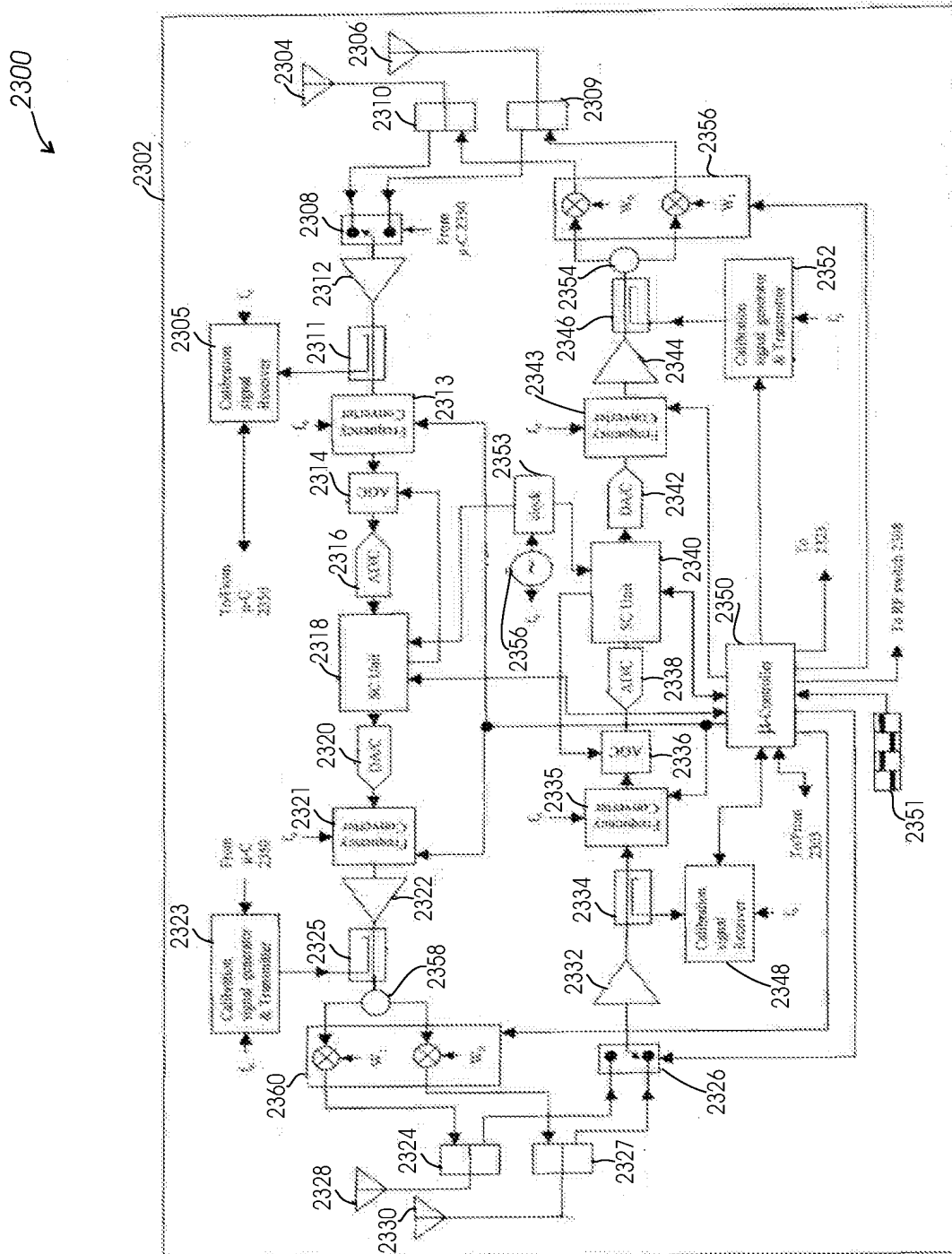


Fig. 10







19/27

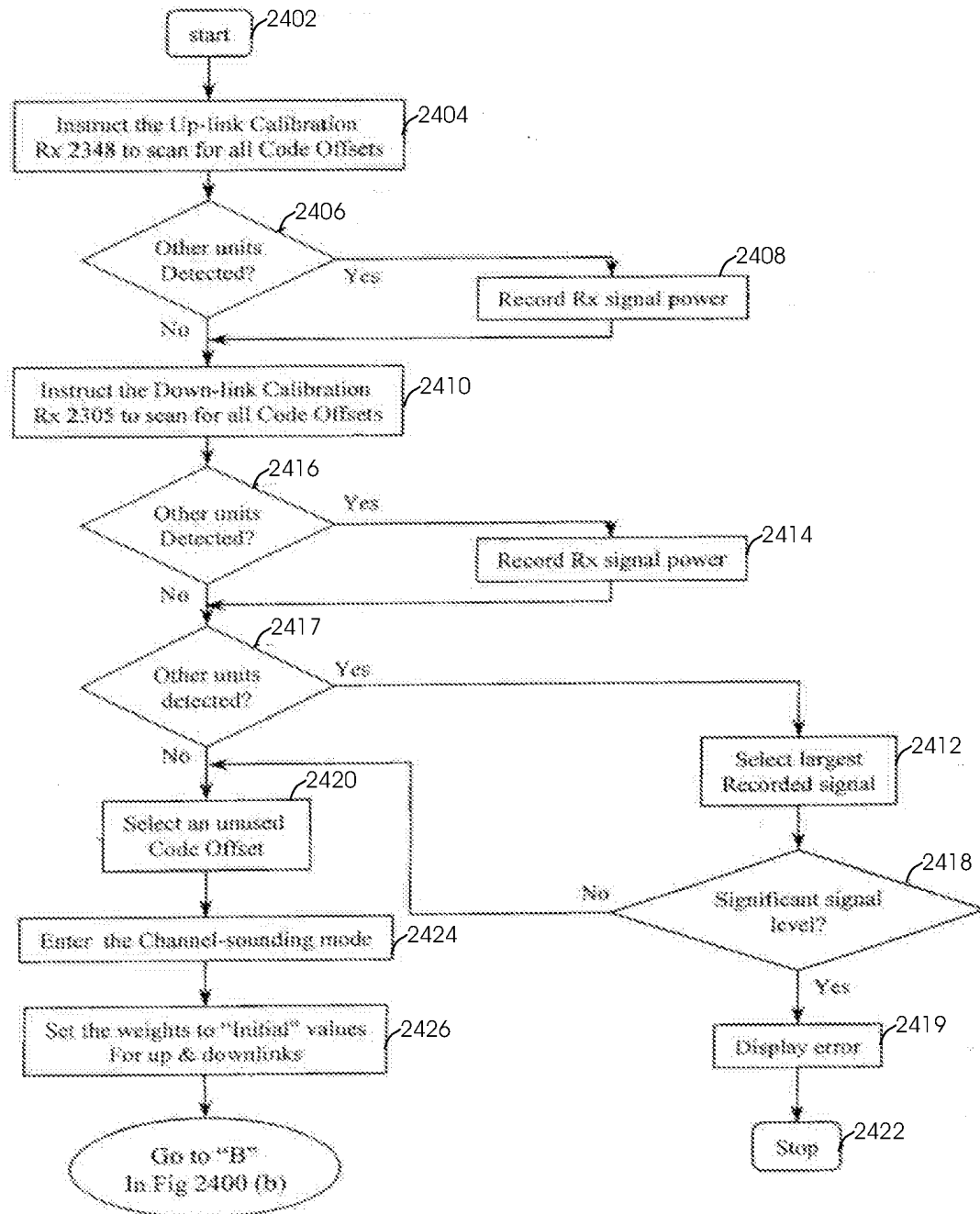


Fig. 13A

20/27

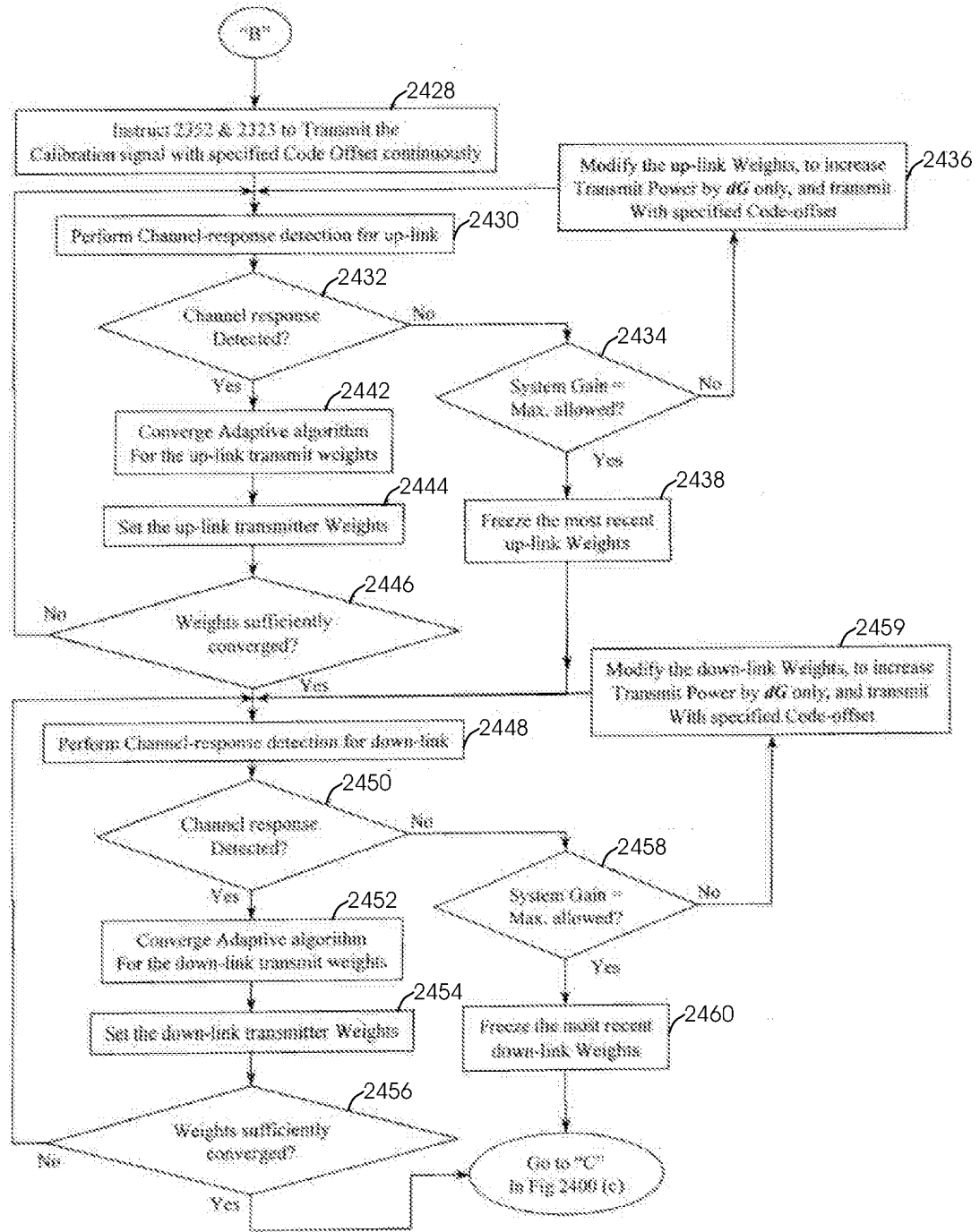


Fig. 13B

21/27

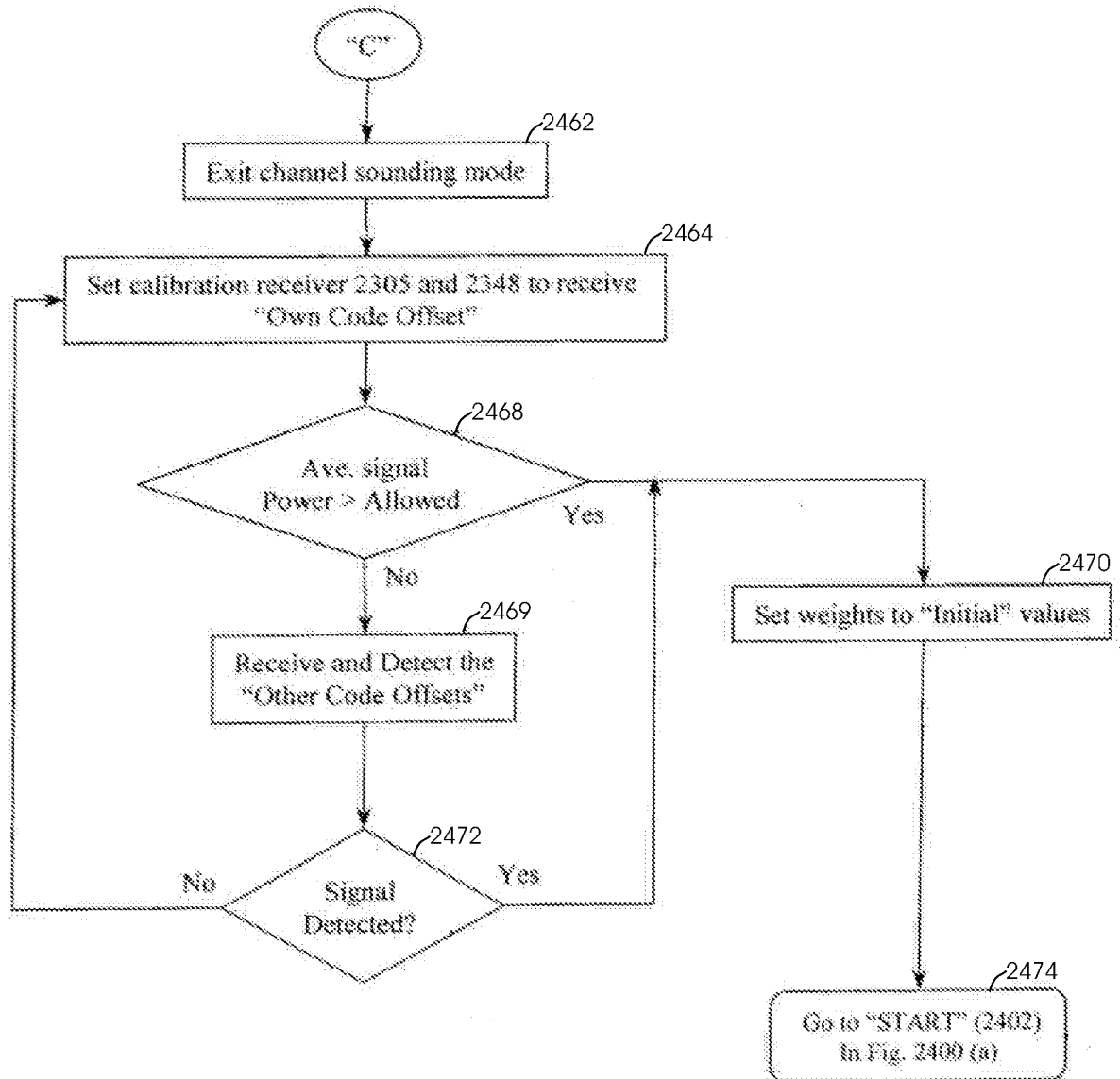


Fig. 13C

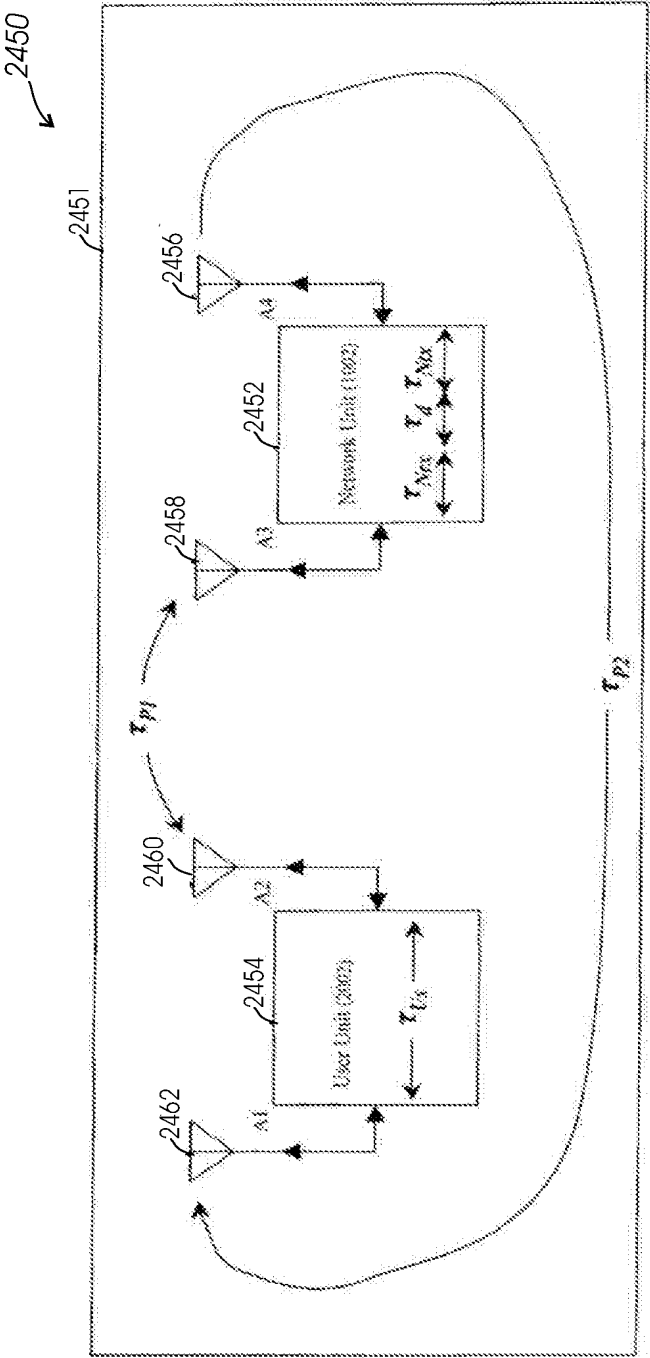


Fig. 14A

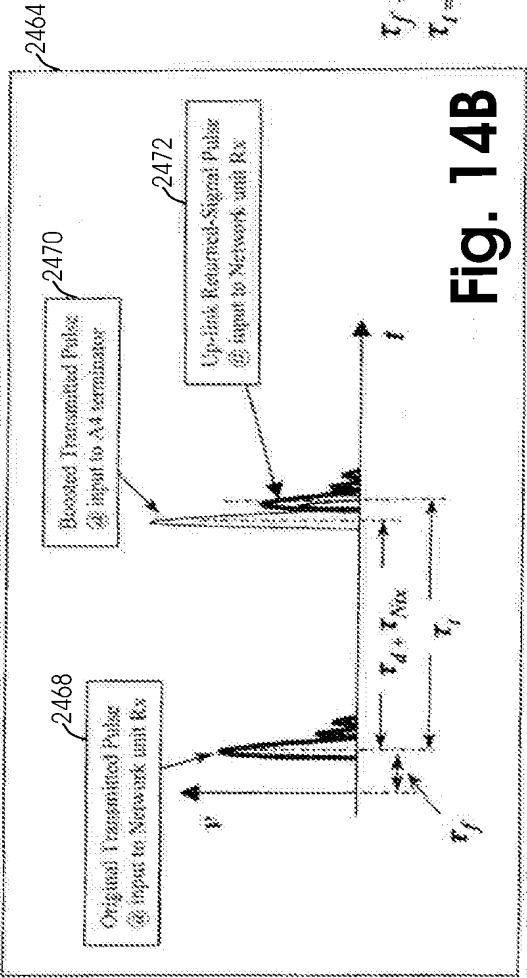


Fig. 14B

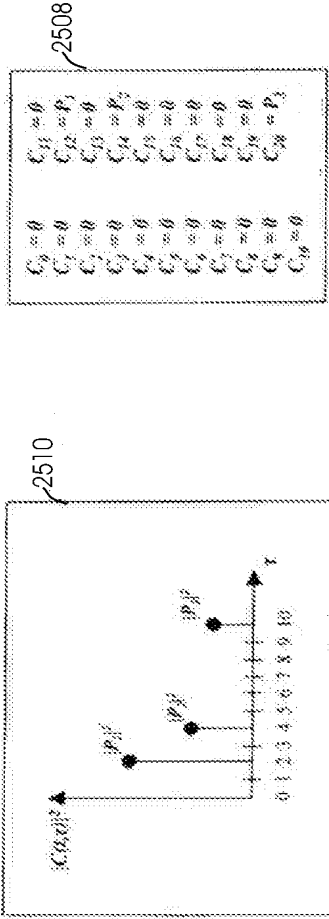
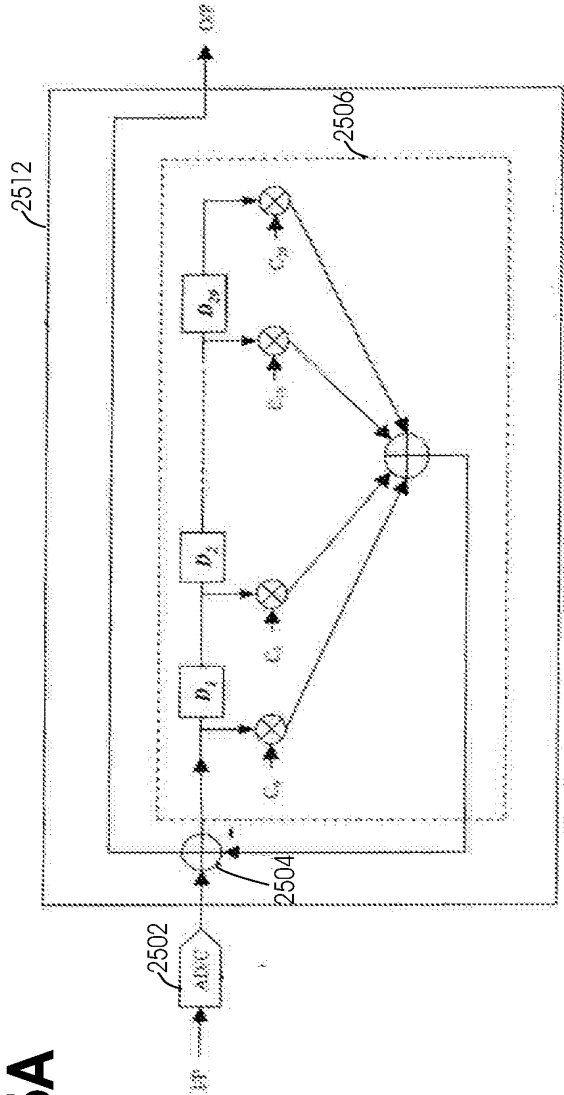


Fig. 15C

Fig. 15B

24/27

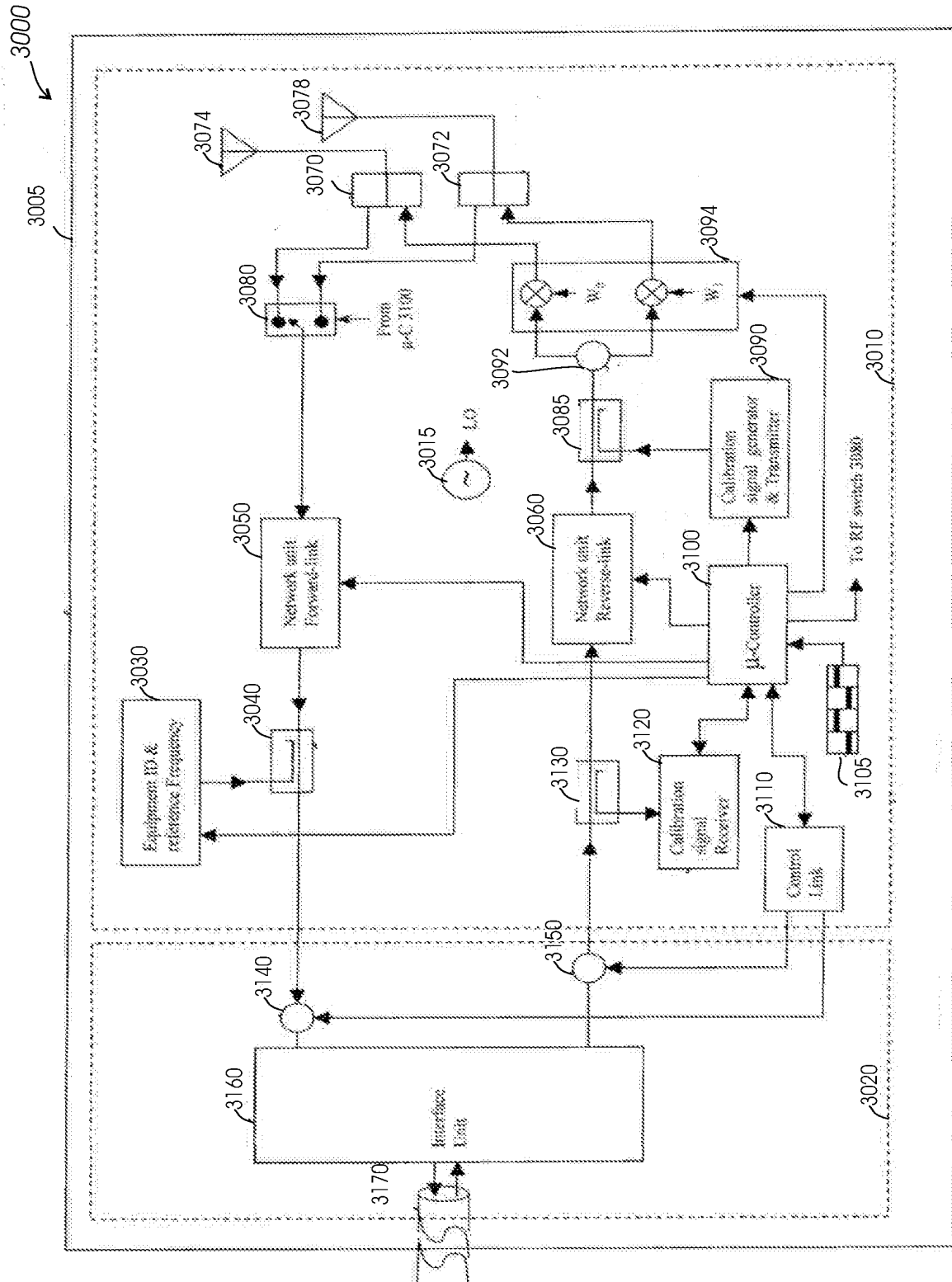
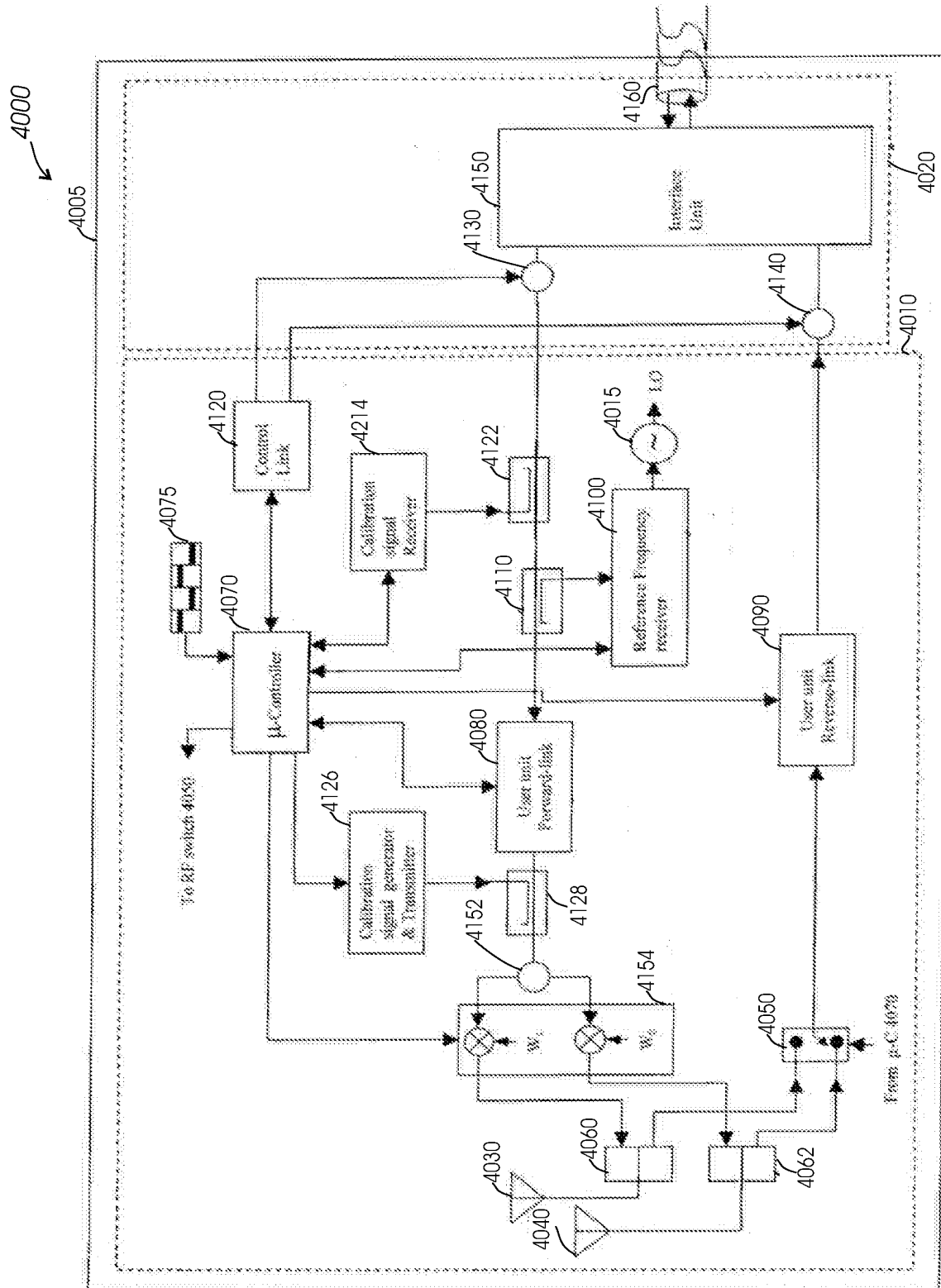


Fig. 16





**Fig. 17**

26/27

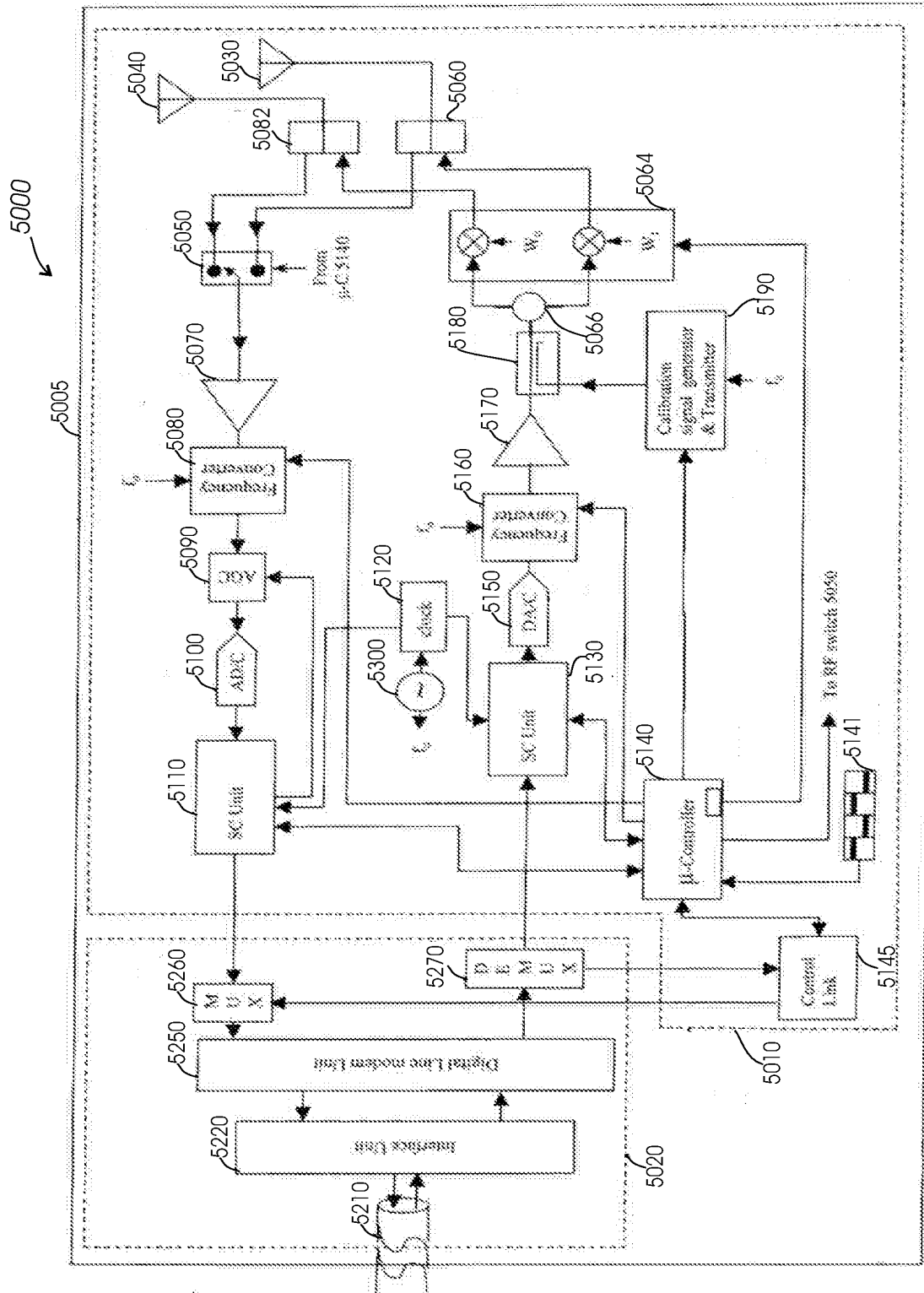


Fig. 18

27/27

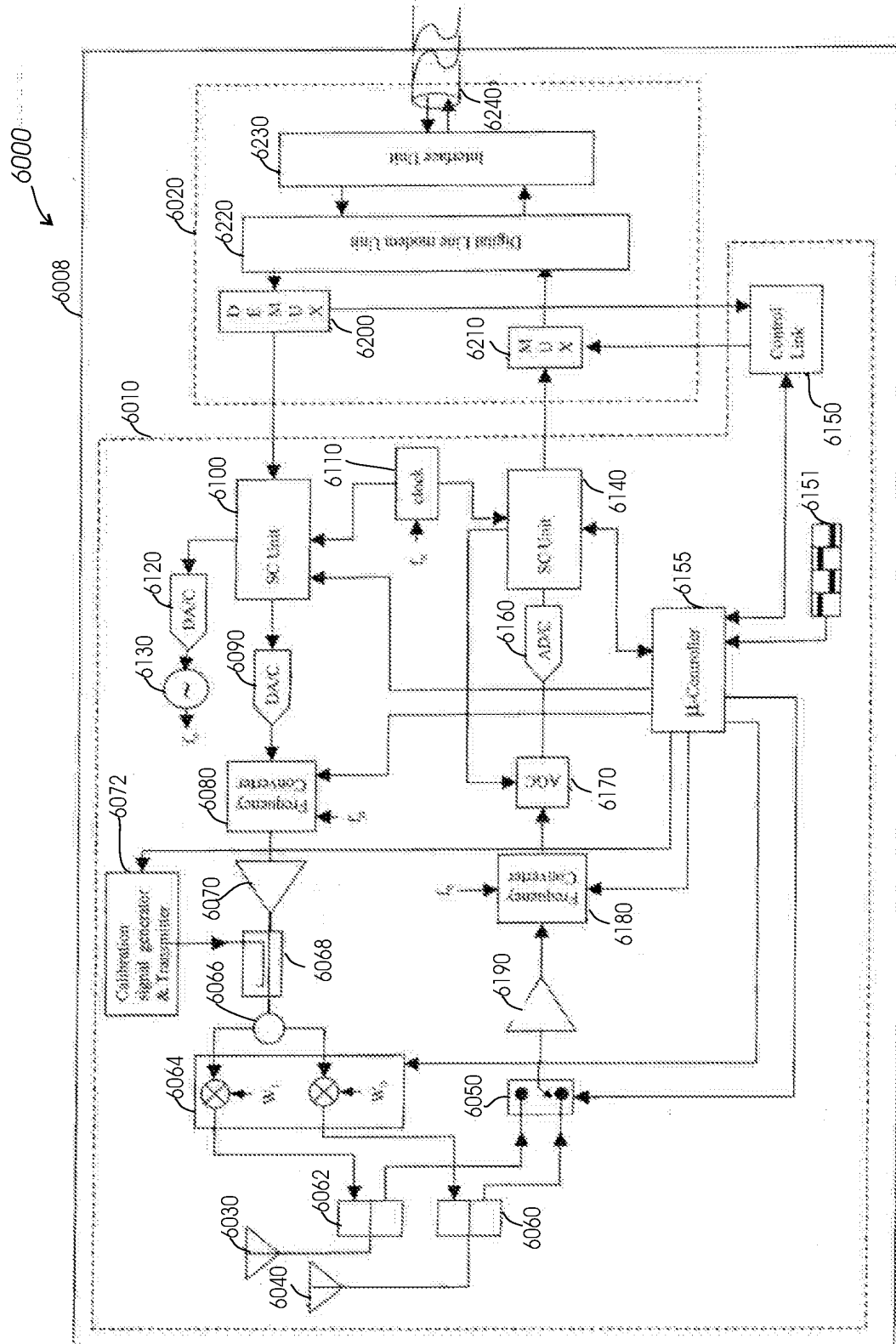


Fig. 19